

En búsqueda de la capacitancia del Hilbertrón, un viaje por el método de relajación con ansiedad (diferencias finitas centradas de cuarto orden).

Azpeitia Arias, Ángel Alejandro.
alejandroazp@ciencias.unam.mx

Pérez Flores, Julio Alfonso.
julio_perez@ciencias.unam.mx

Facultad de Ciencias, Universidad Nacional Autónoma de México.
01 Diciembre, 2023.

Resumen.

Se caracterizo la capacitancia de un condensador coplanar con electrodos basados en una pseudo curva de Hilbert de segundo orden (nombrado el Hilbertrón), mediante el método de relajación modificado usando diferencias finitas centradas de cuarto orden, con tolerancia de 2.22×10^{-7} , además se expone el comportamiento del campo eléctrico, el potencial y la carga.

Abstract: *The capacitance of a coplanar capacitor with electrodes based on a second-order Hilbert pseudo-curve (called the Hilbertrón) was characterized using the modified relaxation method employing fourth-order centered finite differences, with a tolerance of 2.22×10^{-7} . Furthermore, the behavior of the electric field, potential, and charge is presented.*

Keywords: *Space-filling Curve based Electrodes, Coplanar Capacitor.*

1. Introducción.

1.1. State of Art.

Un condensador coplanar es un componente electrónico conformado por dos electrodos ubicados en el mismo plano cubiertos por un medio dieléctrico, en este arreglo la capacitancia tiene atribuciones derivadas de un campo eléctrico uniforme entre el grosor de los electrodos y otro no uniforme que se dispersa alrededor del espacio en los extremos de los electrodos, conocido como efecto fringe [1] [2]. Cuando un material externo atraviesa este ultimo campo eléctrico, la capacitancia asociada es modificada, por lo que esta configuración de electrodos es útil para caracterizar cambios en constantes dieléctricas debido al cambio del material o sus propiedades, alguno de los ejemplos donde esta aplicación es útil son las técnicas de evaluación no destructivas [3] [4], la medición de humedad relativa en suelos [5][6], y en la detección de fugas de humedad en edificaciones [7].

Abdollahi-Mamoudan et al.[8] muestra que los factores determinantes que afectan a la capacitancia son la geometría, el espacio entre placas y la frecuencia de carga, mientras mas área de un electrodo tenga frontera con el electrodo opuesto y la separación entre estas sea mas chica, la capacitancia aumenta. Una forma de poder acreditar las condiciones anteriores es mediante el uso de curvas de llenado del espacio (Space-filling curve) [9] de grosor controlado que separen los electrodos. Debido a que la capacitancia se obtiene mediante el desarrollo de la ecuación de Laplace o Poisson, la geometría vuelve a jugar un papel fundamental en la obtención de la capacitancia de forma analítica. Algunas geometrías, como son dos tiras coplanares han sido solucionadas mediante el uso de integrales de Cauchy [10], algunas geometrías más complejas como un arreglo de anillos han sido solucionadas mediante el uso de la transformada de Hankel [7], no obstante; Parker [11], Naghed y Wolff, [12] y Campbell [13] han mos-

trado que este problema es soluble mediante método de diferencias finitas.

Es por esto que este trabajo se propone la caracterización de la capacitancia de una geometría basada en una pseudo-curva de Hilbert de segundo orden, mediante el método de relajación [14], modificándolo de tal forma que se utilice diferencias finitas centradas de cuarto orden. Esto con la finalidad de obtener resoluciones a la ecuación de Laplace y al campo eléctrico de geometrías complejas, así como realizar una discusión de la viabilidad de este método para la obtención teórica de la capacitancia en condensadores utilizados en la medición de humedad relativa en suelos.

El condensador coplanar con electrodos basados en una pseudo curva de Hilbert analizado en este trabajo fue realizado en el contexto del desarrollo del proyecto «El Ecomático 3000», en donde se hace uso de este condensador en una sonda para medir humedad del suelo, a esta implementación se le llamó el Hilbertrón.

1.2. Marco Teórico.

Para obtener la capacitancia, se necesita calcular la carga en el dispositivo. Se sabe que las cargas eléctricas generan campos eléctricos y magnéticos, que cumplen las cuatro ecuaciones de Maxwell, una de ellas es la ley de Gauss.

$$\nabla \cdot \vec{E} = \frac{\rho_{total}}{\epsilon_0}. \quad (1)$$

Ecuación 1: Ley de Gauss en su forma diferencial, donde \vec{E} , es el campo electrico y ρ la densidad de carga

Además, para el caso electrostático (las cargas no se mueven), se cumple la igualdad $\vec{E} = -\nabla\phi$, reemplazando el campo eléctrico en la ley de Gauss se obtiene ec. 2

$$\nabla^2 \phi = \frac{-\rho_{total}}{\epsilon_0}. \quad (2)$$

Ecuación 2: Ecuación de poisson, donde ϕ , es el potencial eléctrico.

$$\phi(x, y) \approx \frac{16\phi_{i-1, j} + 16\phi_{i, j-1} + 16\phi_{i+1, j} + 16\phi_{i, j+1} - \phi_{i-2, j} - \phi_{i, j-2} - \phi_{i+2, j} - \phi_{i, j+2}}{60}. \quad (3)$$

Ecuación 3: Aproximación del Laplaciano mediante diferencias finitas centradas de cuarto orden. Donde $\phi_{i+k, j+k}$, significa $\phi(x_i + hk, y_j + hk)$, con x_i, x_j puntos iniciales y h la distancia entre dos puntos de la partición

$$\frac{\rho(x, y)}{\epsilon_0} \approx \frac{16\phi_{i-1, j} + 16\phi_{i, j-1} + 16\phi_{i+1, j} + 16\phi_{i, j+1} - \phi_{i-2, j} - \phi_{i, j-2} - \phi_{i+2, j} - \phi_{i, j+2} - 60\phi(i, j)}{12h^2}. \quad (4)$$

Ecuación 4: Aproximación de la ecuación de Poisson, mediante diferencias finitas centradas de cuarto orden. Donde $\phi_{i+k, j+k}$, significa $\phi(x_i + hk, y_j + hk)$, con x_i, x_j puntos iniciales y h la distancia entre dos puntos de la partición

Y en una región del espacio donde no hay carga eléctrica, se llega a la ecuación que es nombrada como ecuación de Laplace **ec. 5**

$$\nabla^2 \phi = 0. \quad (5)$$

Ecuación 5: Ecuación de Laplace.

Por el teorema de existencia y unicidad, que la solución a una ecuación diferencial es única, por lo tanto si se obtiene una solución que cumpla las condiciones de frontera esta es la única solución al problema.

La ecuación de Laplace puede ser aproximada por el método de relajación, que consiste en aproximar las segundas derivadas parciales por método de diferencias centrales de cuarto orden, como se muestra en la ecuación **ec. 7** y análogamente, la **ec. 8** para y .

$$\nabla^2 \phi = \frac{\partial^2 \phi}{\partial y^2} + \frac{\partial^2 \phi}{\partial x^2}. \quad (6)$$

Ecuación 6: Operador Laplaciano en coordenadas cartesianas, donde ϕ es una función escalar

En la ecuación **ec. 6** se sustituyen las segundas derivadas por las expresiones descritas (**ecs: 7, 8**), por la **ec. 5** se igual a 0, despejando $\phi(x, y)$, se obtiene que el valor de cada celda del mallado se aproxima con el promedio de sus cuatro vecinos (**ec. 3**). Como consecuencia de la extensión de esta expresión y del hecho de que el método de relajación utilizado en electrodinámica solo utiliza diferencias finitas de segundo orden, se denomina a este procedimiento en este documento como método de relajación con ansiedad.

$$\frac{d^2 \phi}{dx^2} \approx \frac{-\phi_{i+2} + 16\phi_{i+1} - 30\phi_i + 16\phi_{i-1} - \phi_{i-2}}{12h^2}. \quad (7)$$

$$\frac{d^2 \phi}{dy^2} \approx \frac{-\phi_{j+2} + 16\phi_{j+1} - 30\phi_j + 16\phi_{j-1} - \phi_{j-2}}{12h^2}. \quad (8)$$

Ecuaciones 7, 8: Aproximación por diferencias finitas centradas de cuarto orden de las segundas derivadas de ρ en x, y , donde $\phi_{i+k, j+k}$, significa $\phi(x_i + hk, y_j + hk)$, con x_i, x_j puntos iniciales y h la distancia entre dos puntos de la partición

Para calcular el campo eléctrico, se utiliza el método de diferencias centrales de cuarto orden en cada componente tomando en cuenta que $\vec{E} = -\nabla \phi$

$$\vec{E} \approx \frac{-\phi_{i+2, j} + \phi_{i+1, j} - \phi_{i-1, j} + \phi_{i-2, j}}{12h} \hat{e}_i +, \quad (9)$$

$$\frac{-\phi_{i, j+2} + \phi_{i, j+1} - \phi_{i, j-1} + \phi_{i, j-2}}{12h} \hat{e}_j$$

Ecuación 9: aproximación del campo eléctrico por diferencias finitas centradas de cuarto orden, donde $\phi_{i+k, j+k}$, significa $\phi(x_i + hk, y_j + hk)$, con x_i, x_j puntos iniciales y h la distancia entre dos puntos de la partición.

Como se ha calculado el potencial en toda el área y sabiendo que la ecuación **ec. 2** se cumple en toda región del espacio, nuevamente podemos aplicar diferencias finitas y llegar a la expresión **ec. 4**

La capacitancia se define como $C = \frac{Q}{\Delta \phi}$, para calcular la carga total. Donde Q es la carga positiva, pues si la aproximación es buena, tendremos la misma cantidad de carga positiva y negativa.

$$Q = \int \rho(x, y) dx dy \approx \sum_i \sum_j \rho(i, j) \quad (10)$$

Ecuación 10: aproximación de la carga total en la geometría del condensador.

2. Método.

Un condensador coplanar bloque pensado para poder construir condensadores de mayor capacitancia mediante un arreglo lineal y en paralelo de n de estos bloques, al cual denominamos el Hilbertrón, fue diseñado bajo la siguiente premisa; en un rectángulo de **2046 x 2430 μm** se trazó una pseudo-curva de Hilbert de segundo orden, con **127 μm** de ancho, a la parte superior disconexa se le asignó potencial positivo (3.5 V) además se conectan los tres conjuntos mediante una tira de **192 μm** , la parte conexas se le asignó potencial neutro (0 V), y por completez se le agrega una tira de **192 μm** de ancho, y del largo del rectángulo, la **fig. 1**, muestra un diagrama del condensador y sus dimensiones.

Para la implementación descrita en la **ec. 3**, se empleo un programa escrito en Rust el cual genera un mallado de **2046 x 2430**, con un arreglo matricial, donde cada entrada de la matriz representa un área de **1 μm x 1 μm** , de tal forma que $h = 1$.

Las regiones de los electrodos fueron llenadas con el valor del potencial descrito en la construcción, en las regiones en color blanco **fig. ?? a)** se asigno un potencial de **1.75 V**, para reducir el tiempo de convergencia. Se aplicaron **5000** iteraciones sobre la operación **ec. 3** en la región en blanco, para respetar las condiciones de frontera (bordes de los electrodos). Con este potencial se calcula el campo eléctrico en toda el área con la ecuación **ec.9**, finalmente con ayuda de **ec. 4** y **ec. 10**, se muestra la distribución de carga y la carga total. Finalmente la matriz de potencial discreto, la matriz con los componentes E_x , E_y y la matriz de carga discreto, fueron exportadas en archivos **.txt** y se generaron gráficas en Python con la librería **Matplotlib**, los códigos se pueden apreciar en el **apéndice A**.

3. Resultados y Discusión.

Se realizaron **5000** iteraciones con una tolerancia 2.22×10^{-7} . Al calcular la matriz de potencial con el método de relajación sobre la región blanca se obtiene la gráfica **fig. 2 a)**. Donde se aprecia que el potencial tiene un cambio suave. Se aprecia mejor el cambio del potencial en la gráfica **fig. 2 b)** donde es claro que siguen el contorno de los electrodos, con suavización en las esquinas, donde hay efectos de borde.

La gráfica del campo eléctrico **fig. 3 a)** muestra líneas perpendiculares a las líneas equipotenciales, resultado esperado con base a la relación potencial - campo eléctrico, estann van del electrodo con potencial positivo al neutro, lo que indica la presencia de carga positiva y negativa, pues las líneas de campo nacen en las positivas y mueren en las negativas.

Finalmente al calcular la densidad de carga se obtiene la gráfica **fig. 3 b)**, donde podemos apreciar que la carga positiva se acumula en el electrodo con voltaje positivo y negativa en el electrodo con voltaje 0. Al sumar la carga positiva en se obtiene $Q = 0.000638$ pesos y la diferencia de voltaje es **3.5 V** con lo que la capacitancia es:

$$C = \frac{0.000638\epsilon}{3.5V}$$

Donde ϵ , es la constante dielectrica del material.

Si bien el método presenta resultados acorde a los principios de la electrodinámica, cabe destacar que estos presentan distorsión por efecto de borde, visibles en las **fig. 2 b)** y **fig. 3 a)**, producto de las condiciones de frontera y de la construcción del método. Estas afectaciones se ven principalmente en la convergencia del método, puesto que para las primeras iteraciones se genera una falsa convergencia en la iteración 643, existiendo demasiadas regiones con el potencial especulativo inicial, no obstante; las distorsiones de bordes aumentan en el mallado con base a las iteraciones tienden al infinito, por esta razón un numero de iteraciones fue impuesto en vez de aplicar una condición de tolerancia para terminar las iteraciones. Así como, en la carga acumulada, en primera instancia este problema se quería abordar mediante la discontinuidad del campo eléctrico, debido a que en las esquinas aparecen estas distorsiones por efecto de borde también se presenta una distorsión en la carga acumulada. Para futuras referencias este efecto puede ser reducido redondeando los bordes del condensador, y aumentando la escala de la matriz.

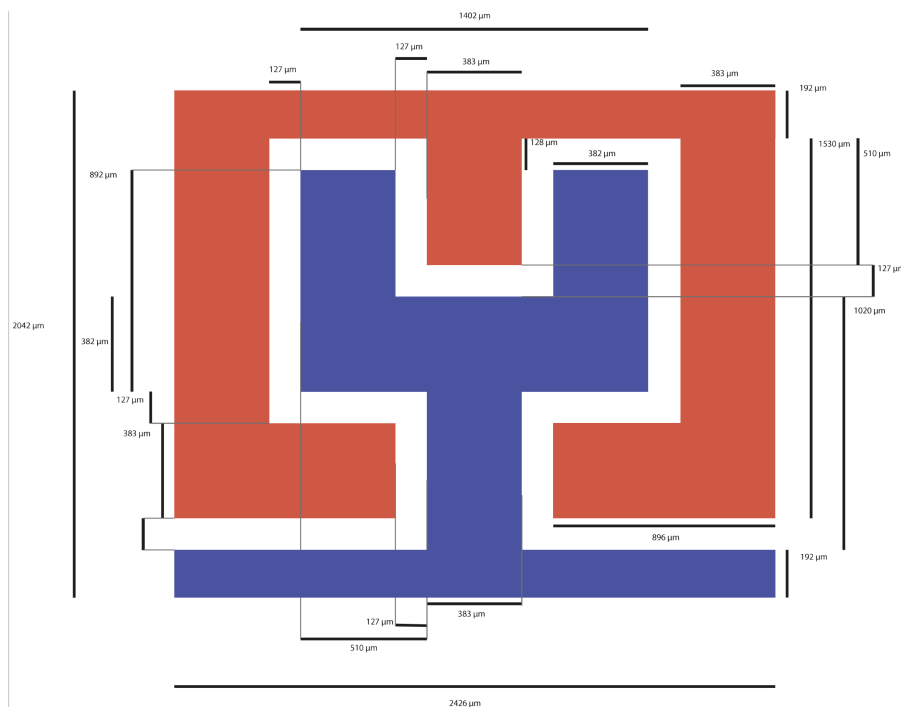
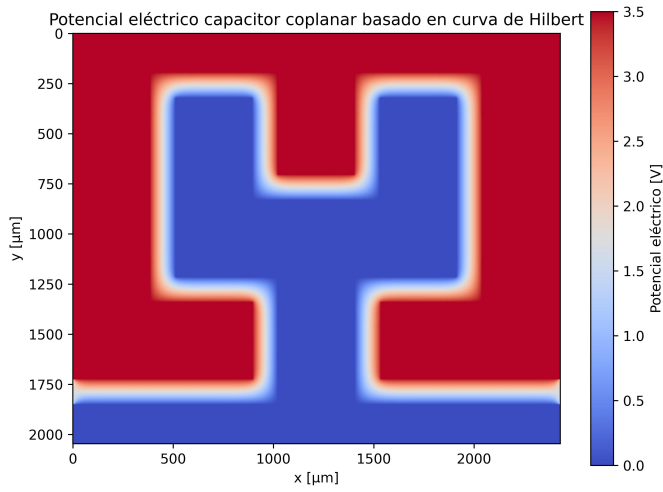
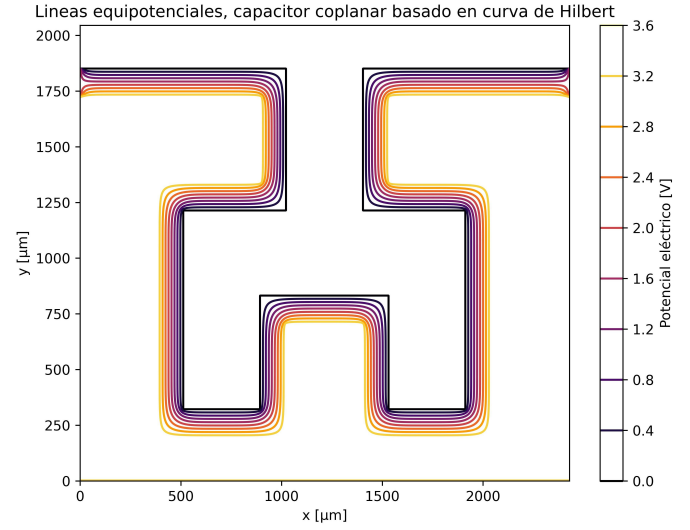


Figura 1: Geometría y dimensiones del Hilbertrón

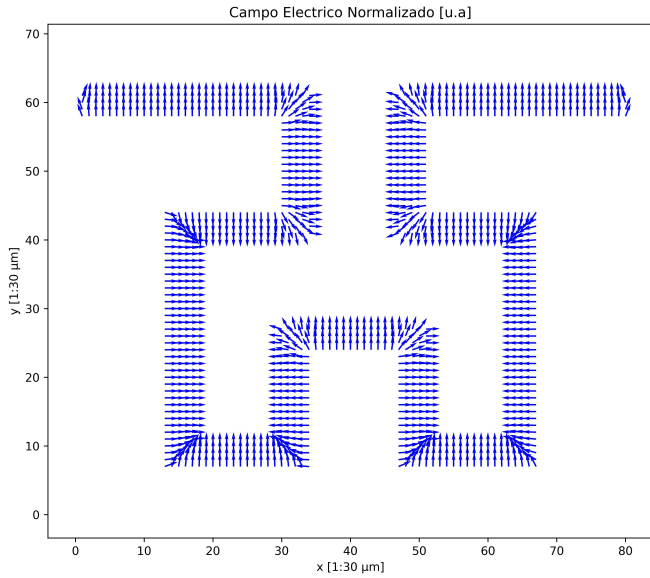


(a)

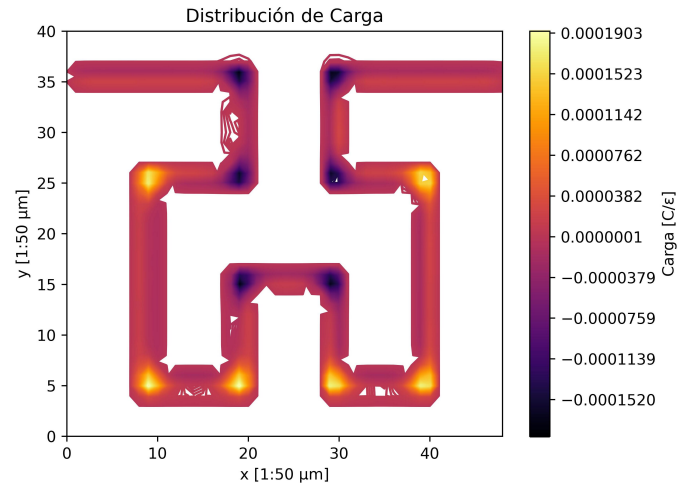


(b)

Figura 2: (a): Potencial eléctrico obtenido mediante la solución de la ecuación de Laplace con diferencias finitas de cuarto orden (b): Líneas equipotenciales de ϕ calculado, mediante la solución de la ecuación de Laplace con diferencias finitas de cuarto orden.



(a)



(b)

Figura 3: (a): Campo eléctrico calculado mediante el gradiente de la matriz de potencial discreto. El campo se aprecia normalizado (flechas de magnitud 1), con fines de mostrar la dirección (Escala: 1:30 μm) (b): Densidad de carga calculada y en escala 1: 50 μm entre la constante de permitividad eléctrica del material, donde las regiones en color uva tienden a 0 $\frac{C}{\epsilon}$.

Otro inconveniente para poder establecer resultados fidedignos, es la falta de datos experimentales para realizar comparaciones en la capacitancia. Debido a que la capacitancia varía en función de la constante dieléctrica del material, para realizar una caracterización de la capacitancia fiable, un condensador coplanar debe ser construido con una capa de grosor homogénea de un material con función dieléctrica bien estudiada, a temperaturas controladas y frecuencias bajas. Desafortunadamente no fue posible acceder a un método para depositar películas de grosor homogéneo en el condensador.

En consecuencia al párrafo anterior establecer una frontera en el plano Z tampoco no fue posible, la falta de estas aportaciones modifica el valor de la capacitancia, sin embargo; debido a que no existe nada que contenga al campo eléctrico en la componente z, una de las condiciones de frontera para resolver el problema sería de tipo Neumann $\left. \frac{\partial \phi}{\partial z} \right|_h = 0$, donde h es la distancia de las placas al fin del material dieléctrico, por lo que de considerar estas fronteras el código debe ser modificado para poder usar condiciones de frontera Neumann y no solo Dirichlet como las usadas en este acercamiento.

4. Conclusiones.

Las gráficas y resultados coinciden con lo esperado según los principios de la electrostática, además los avances realizados en este estudio muestran que el método es útil para la resolución de la ecuación de Laplace en electrostática, a la par que permite realizar un acercamiento didáctico de las interacciones del campo eléctrico y el potencial en geometrías complejas, no obstante para asegurarnos de la veracidad de los resultados se tendría que hacer la comparación con los resultados experimentales.

Agradecimientos.

Agradecemos a **Reyes Coronado Alejandro, Viveiros Armas Eduardo Enrique** (*departamento de Física, Facultad de Ciencias*), por la revisión del método y el ajuste en las condiciones de frontera; así como a **López Aparicio Jehú** (*laboratorio de electrónica, departamento de Física, Facultad de Ciencias*), por iniciar los tramites para tener acceso a equipo de Spin Coating, con la finalidad de realizar comparaciones experimentales en un futuro cercano.

Apéndice A: Código fuente del método en RUST y gráficadora en Python.

Método de diferencias finitas centras de cuarto en orden en Rust

```
1 /*La idea general de codigo es que resuelve la ecuacin de Laplace utilizando diferencias
2 centradas de cuarto orden, para ello se genera una matriz de 2046x430 donde cada indice
3 representa 1 um y se rellena con un valor arbitrario (en este caso la mitad del potencial
4 ms grande)
5
6 https://www.dam.brown.edu/people/alcyew/handouts/numdiff.pdf
7
8 Posteriormente se proponen las fronteras de tipo Dirichlet mutando los valores de algunas zonas
9 de la matriz con respecto al potencial de nuestro electrodos 5 y 0 Volts y a la geometria de
10 nuestros electrodos (ver PDF).
11
12 Finalmente se busca el conjunto de pares ordenados donde los valores con los que se relleno la
13 matriz en un principio no fueron mutados. Esto es importante porque, debido a que el potencial
14 de nuestra frontera no debe ser mutado por la diferencia finita entonces solo iteramos en esa
15 coleccin de indices y con eso ahorramos tiempo por cada paso que hace
16
17 En otro proceso aparte exporta los datos de la matriz cuando ya se terminaron de hacer 10000
18 iteraciones en un archivo txt con escritura paralela (para no demorarse tanto tiempo)
19 para poder graficar en python porque no sabemos hacerlo en Rust.*/
20
21 use rayon::prelude::*; //libreria de escritura paralela
22 use std::fs::File; //elemento de la libreria estandar de Rust que accesa rutas del ordenado
23 use std::io::{self, Write}; //metodo escribir sobre objeto de la libreria estandar de Rust
24
25 //numero maximo de iteraciones
26 const MAX_ITER: usize = 5000;
27
28 //Declaracin de nuestras funciones
29 //
30
31 -----
32
33 fn copiar_matriz_a_vector(matriz: &Vec<Vec<f32>>, indices: &Vec<(usize, usize)>) -> Vec<f32> {
34     let mut resultado = Vec::new();
35
36     for &(fila, columna) in indices {
37         if let Some(fila_matriz) = matriz.get(fila) {
38             if let Some(valor) = fila_matriz.get(columna) {
39                 resultado.push(*valor);
40             } else {
41                 panic!("ndices de columna fuera de rango en la fila {}", fila);
42             }
43         } else {
44             panic!("ndice de fila fuera de rango: {}", fila);
45         }
46     }
47 }
```

```

46     resultado
47 }
48
49 fn restar_vectores(a: &Vec<f32>, b: &Vec<f32>) -> Vec<f32> {
50     if a.len() != b.len() {
51         panic!("Los vectores deben tener la misma longitud para realizar la resta.");
52     }
53
54     let mut resultado = Vec::with_capacity(a.len());
55
56     for i in 0..a.len() {
57         resultado.push(a[i] - b[i]);
58     }
59
60     resultado
61 }
62
63 fn obtener_promedio(arr:&Vec<f32>) -> Option<f32> {
64     let longitud = arr.len();
65
66     if longitud == 0 {
67         None // No se puede calcular el promedio de un array vaco
68     } else {
69         let suma: f32 = arr.iter().sum();
70         Some(suma / (longitud as f32))
71     }
72 }
73
74 /* Funcin para crear una matriz de m filas por n columnas con todos sus elementos valiendo
75 1.75.
76 Este constructor usa la estructura vector de vectores */
77 fn crear_matriz(m: usize, n: usize, fill: f32) -> Vec<Vec<f32>> {
78     let mut matriz = Vec::with_capacity(m);
79
80     for _ in 0..m {
81         let fila: Vec<f32> = vec![fill; n];
82         matriz.push(fila);
83     }
84
85     matriz
86 }
87
88 /*En esta funcion lo que se hace es realizar dos iteraciones sobre una matriz mutables y
89 obtener sus
90 respectivos indices i,j si el valor del elemento matriz[i][j] es igual a un valor buscado, nos
91 devuelve
92 un vector con una coleccin de pares ordenados.*/
93 fn obtener_valores(matriz: &mut Vec<Vec<f32>>, valor_buscado: f32) -> Vec<(usize, usize)> {
94     let mut indices_a_cambiar = Vec::new();
95
96     for (i, fila) in matriz.iter_mut().enumerate() {
97         for (j, valor) in fila.iter_mut().enumerate() {
98             if *valor == valor_buscado {
99                 // Guardar los ndices
100                 indices_a_cambiar.push((i, j));
101             }
102         }
103     }
104
105     indices_a_cambiar
106 }
107
108 /*
109 Esta funcin, llamada write_matrix_to_file_parallel, toma una matriz mutable de nmeros de punto

```

```

    flotante (f32)
109 y un camino de archivo (file_path), y escribe el contenido de la matriz en un archivo, mediante
    escritura paralela.
110 */
111
112 fn write_matrix_to_file_parallel(matrix: &mut Vec<Vec<f32>>, file_path: &str) -> io::Result<()>
    {
113     let formatted_rows: Vec<String> = matrix
114         .par_iter_mut()
115         .map(|row| {
116             // Formatear la fila como una cadena separada por tabulaciones
117             row.iter_mut()
118                 .map(|num| num.to_string())
119                 .collect::<Vec<String>>()
120                 .join("\t")
121         })
122         .collect();
123
124     let mut file = File::create(file_path)?;
125
126     for row_str in formatted_rows {
127         // Escribir la fila en el archivo seguido de un salto de linea
128         writeln!(file, "{}", row_str)?;
129     }
130
131     Ok(())
132 }
133 //
134
135 //Ejecucin Principal.
136 //
137
137 fn main() {
138     // Nmero de filas y columnas
139
140     /*Cabe aclarar que se agregaron cuatro puntos mas para satisfacer las condiciones iniciales
    del
141     metodo de diferencias finitas centradas de cuarto orden y no perder informacin, i,e i<=2, e
142     i<= n-2, de tal forma que el termino i+2 corresponde al 0 de nuestro sistema real */
143     let m = 2046;
144     let n = 2430;
145
146     // Crear la matriz
147
148     let mut phi: Vec<Vec<f32>> = crear_matriz(m, n, 1.75);
149
150     /* En ambos casos (potencial positivo y potencial 0),lo que se hace es iterar sobre las
    filas primero
151     y despues sobre las columnas. si el indice de las columnas se encuentra en una de las
    colecciones de
152     puntos mencionadas (las cuales corresponden geometricamente a los electrodos del capacitor
    coplanar),
153     entonces modifica el valor de la matriz al del potencial deseado.*/
154
155     //potencial positivo
156     for i in 2..m - 2 {
157         if (0..=194).contains(&i) {
158             for j in 0..n {
159                 phi[i][j] = 3.5;
160             }
161         }
162
163         if (194..=704).contains(&i) {

```

```

164         for range in [(0..385), (1021..1404), (2040..n)] {
165             for j in range {
166                 phi[i][j] = 3.5;
167             }
168         }
169     }
170
171     if (704..=1340).contains(&i) {
172         for range in [(0..385), (2040..n)] {
173             for j in range {
174                 phi[i][j] = 3.5;
175             }
176         }
177     }
178
179     if (1340..=1723).contains(&i) {
180         for range in [(0..898), (1535..n)] {
181             for j in range {
182                 phi[i][j] = 3.5;
183             }
184         }
185     }
186 }
187
188 //potencial 0
189 for i in 0..m {
190     if (322..=832).contains(&i) {
191         for range in [(512..894), (1531..1913)] {
192             for j in range {
193                 phi[i][j] = 0.0;
194             }
195         }
196     }
197
198     if (832..=1214).contains(&i) {
199         for j in 512..1913 {
200             phi[i][j] = 0.0;
201         }
202     }
203
204     if (1214..=1851).contains(&i) {
205         for j in 1022..1405 {
206             phi[i][j] = 0.0;
207         }
208     }
209
210     if i >= 1851 {
211         for j in 0..n {
212             phi[i][j] = 0.0;
213         }
214     }
215 }
216
217 //obtener indices a iterar
218 let indices = obtener_valores(&mut phi, 1.75);
219
220 //iteraciones del metodo
221 for _k in 1..MAX_ITER {
222     /* Como la coleccion de parejas ordenadas que obtuvimos en la seccion anterior no es
223     accesible para operar en este ciclo las clonamos (supongo que hay una forma mas optima
224     de pasarlas al scope) pero se itera sobre esa coleccion de puntos
225
226     Sabemos que en esa coleccion de puntos hay puntos que no cumplen las condiciones
227     iniciales
228     ie i<=2, e i<= n-2, entonces forzamos a que solo itere sobre los puntos que si cumplen
229     esa

```



```

228     condicin y evalúe el nuevo valor de phi (chequear foto del desglose de la solución de la
229     ecuación de Laplace en la foto))*/
230
231     let phiant=copiar_matriz_a_vector(&phi, &indices);
232     for (i, j) in &indices {
233         // Verificar que los índices estén dentro del rango de la matriz
234         if *i < phi.len() && *j < phi[0].len() {
235             if *i >= 2 && *j >= 2 && *i + 2 < phi.len() && *j + 2 < phi[0].len() {
236                 phi[*i][*j] = (16.0 * phi[*i - 1][*j]
237                     + 16.0 * phi[*i][*j - 1]
238                     + 16.0 * phi[*i + 1][*j]
239                     + 16.0 * phi[*i][*j + 1]
240                     - 1.0 * phi[*i - 2][*j]
241                     - 1.0 * phi[*i][*j - 2]
242                     - 1.0 * phi[*i + 2][*j]
243                     - 1.0 * phi[*i][*j + 2])
244                     / 60.0;
245             }
246         }
247     }
248
249     let tol = match obtener_promedio(&restar_vectores(&copiar_matriz_a_vector(&phi, &
indices), &phiant)) {
250         Some(mean) => mean.abs(),
251         None => {
252             eprintln!("Error calculating mean. Exiting.");
253             return;
254         }
255     };
256
257     println!("Iteración n: {}, tol: {}. ", _k, tol);
258
259 }
260
261 /*hacemos las matrices de las componentes en x y Y del campo eléctrico de nuevo de la
matriz de potencial hay
262 cuatro puntos más para satisfacer las condiciones iniciales del método de diferencias
finitas centradas de cuarto
263 orden pero no nos importan y los quitamos de las matrices resultantes
264 */
265
266 let mut ex: Vec<Vec<f32>> = crear_matriz(m, n, 0.0); // Componente x del campo eléctrico
267 let mut ey: Vec<Vec<f32>> = crear_matriz(m, n, 0.0); // Componente y del campo eléctrico
268
269 /*Iteramos sobre las matrices Ey Ex y Phi para aplicar el operador numérico gradiente el
cual es diferencia finita
270 centrada de cuarto orden para los elementos de x dejando a y fija y la diferencia finita
centrada de cuarto orden para
271 los elementos de y dejando a x fija.
272
273 los índices ip e ij están corregidos para poder acceder phi y sus condiciones iniciales*/
274
275 let len_i = phi.len();
276 let len_j = phi[0].len();
277
278 for (i, j) in &indices {
279     if *i >= 2 && *j >= 2 && *i + 2 < len_i && *j + 2 < len_j {
280         ey[*i][*j] = -1.0
281             * (-1.0 * phi[*i + 2][*j] + 8.0 * phi[*i + 1][*j] - 8.0 * phi[*i - 1][*j] + phi
[*i - 2][*j])
282             / 12.0;
283         ex[*i][*j] = -1.0
284             * (-1.0 * phi[*i][*j + 2] + 8.0 * phi[*i][*j + 1] - 8.0 * phi[*i][*j - 1] + phi
[*i][*j - 2])
285             / 12.0;
286     }

```

```

287 }
288
289 /*Lo que hace este segmento de código es realizar una iteración sobre todas las áreas
290 del potencial calculado eléctrico aplica el laplaciano a cada elemento y discrepa si es
291 positivo o negativo para hacer una suma ponderada de la carga, posteriormente el valor
292 del laplaciano se guarda en una matriz de distribución de carga discreta. */
293
294 let mut qp: f32=0.0;
295 let mut qn : f32=0.0;
296 let mut rho: Vec<Vec<f32>> = crear_matriz(m, n, 0.0);
297
298 for i in 1..m{
299     for j in 1..n{
300         if i >= 2 && j >= 2 && i + 2 < phi.len() && j + 2 < phi[0].len() {
301             let res = (1.0/1e+6)*((16.0 * phi[i - 1][j]
302                 + 16.0 * phi[i][j - 1]
303                 + 16.0 * phi[i + 1][j]
304                 + 16.0 * phi[i][j + 1]
305                 - 60.0 * phi[i][j]
306                 - 1.0 * phi[i - 2][j]
307                 - 1.0 * phi[i][j - 2]
308                 - 1.0 * phi[i + 2][j]
309                 - 1.0 * phi[i][j + 2])
310                 /12.0); /* se agrego factor de escala para usar unidades del S.I
311
312             rho[i][j]=res;
313
314             if res>0.0{
315                 qp=qp+res;
316             }
317             else if res<0.0 {
318                 qn=qn+res;
319             }
320         }
321     }
322 }
323
324 //imprimir los valores ponderados de la carga
325 let Q: Vec<(f32, f32)> = vec![(qp, qn)];
326 println!("Carga Positiva, Carga negativa [Pesos]: {:?}", Q);
327
328 // Llamar a la función para escribir en el archivo de manera paralela y checar si no hay
329 // error
330 if let Err(e) = write_matrix_to_file_parallel(&mut phi, "Datos usados en el articulo/output
331 .txt") {
332     eprintln!("Error al escribir en el archivo: {}", e);
333 } else {
334     println!("Datos escritos exitosamente en el archivo.");
335 }
336
337 if let Err(e) = write_matrix_to_file_parallel(&mut ex, "Datos usados en el articulo/ex.txt"
338 ) {
339     eprintln!("Error al escribir en el archivo: {}", e);
340 } else {
341     println!("Datos escritos exitosamente en el archivo.");
342 }
343
344 if let Err(e) = write_matrix_to_file_parallel(&mut ey, "Datos usados en el articulo/ey.txt"
345 ) {
346     eprintln!("Error al escribir en el archivo: {}", e);
347 } else {
348     println!("Datos escritos exitosamente en el archivo.");
349 }
350
351 if let Err(e) = write_matrix_to_file_parallel(&mut rho, "Datos usados en el articulo/rho.
352 txt") {

```

```

348         eprintln!("Error al escribir en el archivo: {}", e);
349     } else {
350         println!("Datos escritos exitosamente en el archivo.");
351     }
352 }
353 }

```

Graficadora en Python

```

1  import numpy as np
2  import matplotlib.pyplot as plt
3  from pathlib import Path
4
5  def normalize_matrix(matrix):
6      matrix = np.array(matrix, dtype=float)
7      magnitudes = np.linalg.norm(matrix, axis=1) # Calcular magnitudes a lo largo de las filas
8
9      normalized_matrix = matrix / magnitudes[:, np.newaxis] # Divide cada fila por su magnitud
10     return 100 * normalized_matrix
11
12 def archivo_texto_a_matriz(ruta_archivo):
13     # Abrir el archivo de texto
14     path = Path(__file__).parent / ruta_archivo
15     with path.open('r') as archivo:
16         # Leer lineas del archivo
17         lineas = archivo.readlines()
18
19         # Procesar las lineas y crear una matriz
20         matriz = [list(map(float, linea.strip().split( ))) for linea in lineas]
21
22         # Convertir la lista de listas a un array de NumPy
23         matriz = np.array(matriz)
24
25     return matriz
26
27 #Leer el output, almacenar phi y convertirlo en una matriz.
28 ruta_archivo = 'Datos usados en el articulo/output.txt'
29 phi = archivo_texto_a_matriz(ruta_archivo)
30
31
32 print("Matriz:")
33 print(phi)
34
35 #se usan las matrices phi, Ex y Ey para generar las visualizaciones
36
37 #Graficar potencial
38 plt.figure(figsize=(8, 6))
39 #plt.contourf(phi, 100, cmap='inferno')
40 plt.contour(phi, 8, cmap='inferno')
41 plt.colorbar(label='Potencial elctrico [V]')
42 #plt.quiver(-Ex,-Ey,scale=5)
43 plt.title('Lineas equipotenciales, capacitor coplanar basado en curva de Hilbert')
44 plt.xlabel('x [m]')
45 plt.ylabel('y [m]')
46 plt.savefig('graficas/pothileq.jpg', dpi=600)
47 plt.show()
48
49 plt.figure(figsize=(8, 6))
50 #plt.contourf(rho, 100, cmap='inferno')
51 #plt.contour(rho, 8, cmap='inferno')
52 plt.imshow(phi, cmap='coolwarm', interpolation='nearest')
53 plt.colorbar(label='Potencial elctrico [V]')
54 #plt.quiver(-Ex,-Ey,scale=5)
55 plt.title('Potencial elctrico capacitor coplanar basado en curva de Hilbert')
56 plt.xlabel('x [m]')
57 plt.ylabel('y [m]')
58 plt.savefig('graficas/pothilheat.jpg', dpi=600)

```

```

59 plt.show()
60
61
62 file_path_x = Path(__file__).parent / 'Datos usados en el articulo/ex.txt'
63 file_path_y = Path(__file__).parent / 'Datos usados en el articulo/ey.txt'
64
65 Ex = np.loadtxt(file_path_x)
66 Ey = np.loadtxt(file_path_y)
67
68 Ex_sub = Ex[:, :10, :10]
69 Ey_sub = Ey[:, :10, :10]
70
71
72 magnitud = np.sqrt(Ex_sub**2 + Ey_sub**2)
73
74 Exn = Ex_sub/magnitud
75 Eyn = Ey_sub/magnitud
76
77 # Crear una cuadrícula de coordenadas
78 x = np.arange(0, Exn.shape[1])
79 y = np.arange(0, Eyn.shape[0])
80
81 # Crear una malla de coordenadas
82 X, Y = np.meshgrid(x, y)
83
84 # Graficar el campo vectorial
85 plt.figure(figsize=(10, 8))
86 plt.quiver(x, y, Exn, Eyn, angles='xy', scale_units='xy', scale=1, color='blue', headwidth=2.5)
87 plt.axis("scaled")
88 plt.title('Campo Electrico Normalizado [u.a]')
89 plt.xlabel('x [1:10 m]')
90 plt.ylabel('y [1:10 m]')
91 plt.savefig('graficas/campovectorialfull.jpg', dpi=600)
92 plt.show()
93
94 Ex_sub = Ex[:, :30, :30]
95 Ey_sub = Ey[:, :30, :30]
96
97
98 magnitud = np.sqrt(Ex_sub**2 + Ey_sub**2)
99
100 Exn = Ex_sub/magnitud
101 Eyn = Ey_sub/magnitud
102
103 # Crear una cuadrícula de coordenadas
104 x = np.arange(0, Exn.shape[1])
105 y = np.arange(0, Eyn.shape[0])
106
107 # Crear una malla de coordenadas
108 X, Y = np.meshgrid(x, y)
109
110 # Graficar el campo vectorial
111 plt.figure(figsize=(10, 8))
112 plt.quiver(x, y, Exn, Eyn, angles='xy', scale_units='xy', scale=0.5, color='blue', headwidth=
    =2.5)
113 plt.axis("scaled")
114 plt.title('Campo Electrico Normalizado [u.a]')
115 plt.xlabel('x [1:30 m]')
116 plt.ylabel('y [1:30 m]')
117 plt.savefig('graficas/campovectorial.jpg', dpi=600)
118 plt.show()
119
120 #Graficar densidad de carga
121 rutacarga = 'Datos usados en el articulo/phip.txt'
122 Q = archivo_texto_a_matriz(rutacarga)
123 Qn = Q[:, :50, :50]

```

```

124
125 nonzero_indices = np.nonzero(Qn)
126
127 # Extraer los valores distintos de cero y sus ndices correspondientes
128 nonzero_values = Qn[nonzero_indices]
129
130 # Crear una malla para el gráfico de contornos
131 x, y = np.meshgrid(range(Qn.shape[1]), range(Qn.shape[0]))
132
133 unique_nonzero_values = np.unique(nonzero_values) # Crear el gráfico de contorno
134 plt.contour(x, y, Qn, levels=np.linspace(unique_nonzero_values.min(), unique_nonzero_values.max()
135      (), len(unique_nonzero_values)), cmap='inferno')
136 plt.title('Distribución de Carga')
137 plt.xlabel('x [1:50 m]')
138 plt.ylabel('y [1:50 m]')
139 plt.colorbar(label='Carga [C]')
140 plt.savefig('graficas/carga.jpg', dpi=600)
141 plt.show()

```

Referencias.

- [1] M.-H. Bao, «Electrostatic driving and capacitive sensing,» en *Micro Mechanical Transducers - Pressure Sensors, Accelerometers and Gyroscopes*, Elsevier, 2000, págs. 139-198.
- [2] H. Eren y L. Sandor, «Fringe-effect capacitive proximity sensors for tamper proof enclosures,» en *2005 Sensors for Industry Conference*, IEEE, 2005.
- [3] M. Mwelango, T. Zhu, K. Wen et al., «Coplanar capacitive sensors and their applications in non-destructive evaluation: a review,» en *Nondestruct. Test. Eval.*, vol. 38, n.º 5, págs. 861-905, 2023.
- [4] R. I. Haque, M. Lubej y D. Briand, «Design and printing of a coplanar capacitive proximity sensor to detect the gap between dielectric foils edges,» en *Sens. Actuators A Phys.*, vol. 337, n.º 113424, pág. 113 424, 2022.
- [5] X. Deng, L. Yang, Z. Fu et al., «A calibration-free capacitive moisture detection method for multiple soil environments,» en *Measurement (Lond.)*, vol. 173, n.º 108599, pág. 108 599, 2021.
- [6] S. G. Surya, S. Yuvaraja, E. Varrla, M. S. Baghini, V. S. Palaparthi y K. N. Salama, «An in-field integrated capacitive sensor for rapid detection and quantification of soil moisture,» en *Sens. Actuators B Chem.*, vol. 321, n.º 128542, pág. 128 542, 2020.
- [7] J. Guo, P. Hu y J. Tan, «Analysis of a segmented annular coplanar capacitive tilt sensor with increased sensitivity,» en *Sensors (Basel)*, vol. 16, n.º 1, pág. 133, 2016.
- [8] F. Abdollahi-Mamoudan, S. Savard, C. Ibarra-Castaneda, T. Filleter y X. Maldague, «Influence of different design parameters on a coplanar capacitive sensor performance,» en *NDT E Int.*, vol. 126, n.º 102588, pág. 102 588, 2022.
- [9] A. R. Butz, «Convergence with Hilbert's space filling curve,» *Journal of Computer and System Sciences*, vol. 3, n.º 2, págs. 128-146, 1969, ISSN: 0022-0000. DOI: [https://doi.org/10.1016/S0022-0000\(69\)80010-3](https://doi.org/10.1016/S0022-0000(69)80010-3). dirección: <https://www.sciencedirect.com/science/article/pii/S0022000069800103>.
- [10] F. R. Zypman, «Mathematical expression for the capacitance of coplanar strips,» en *J. Electrostat.*, vol. 101, n.º 103371, pág. 103 371, 2019.
- [11] G. W. Parker, «What is the Capacitance of Parallel Plates?» en *Comput. Phys.*, vol. 5, n.º 5, págs. 534-540, 1991.
- [12] M. Naghed e I. Wolff, «Equivalent capacitances of coplanar waveguide discontinuities and interdigitated capacitors using a three-dimensional finite difference method,» *IEEE Trans. Microw. Theory Tech.*, vol. 38, n.º 12, págs. 1808-1815, 1990.
- [13] J. B. Campbell, «Finite difference techniques for ring capacitors,» en *J. Eng. Math.*, vol. 9, n.º 1, págs. 21-28, 1975.
- [14] D. G. Robertson, *Relaxation methods for partial differential equations: Applications to electrostatics*, <http://faculty.otterbein.edu/DRobertson/compsci/em-stud.pdf>, Accessed: 2023-12-1.